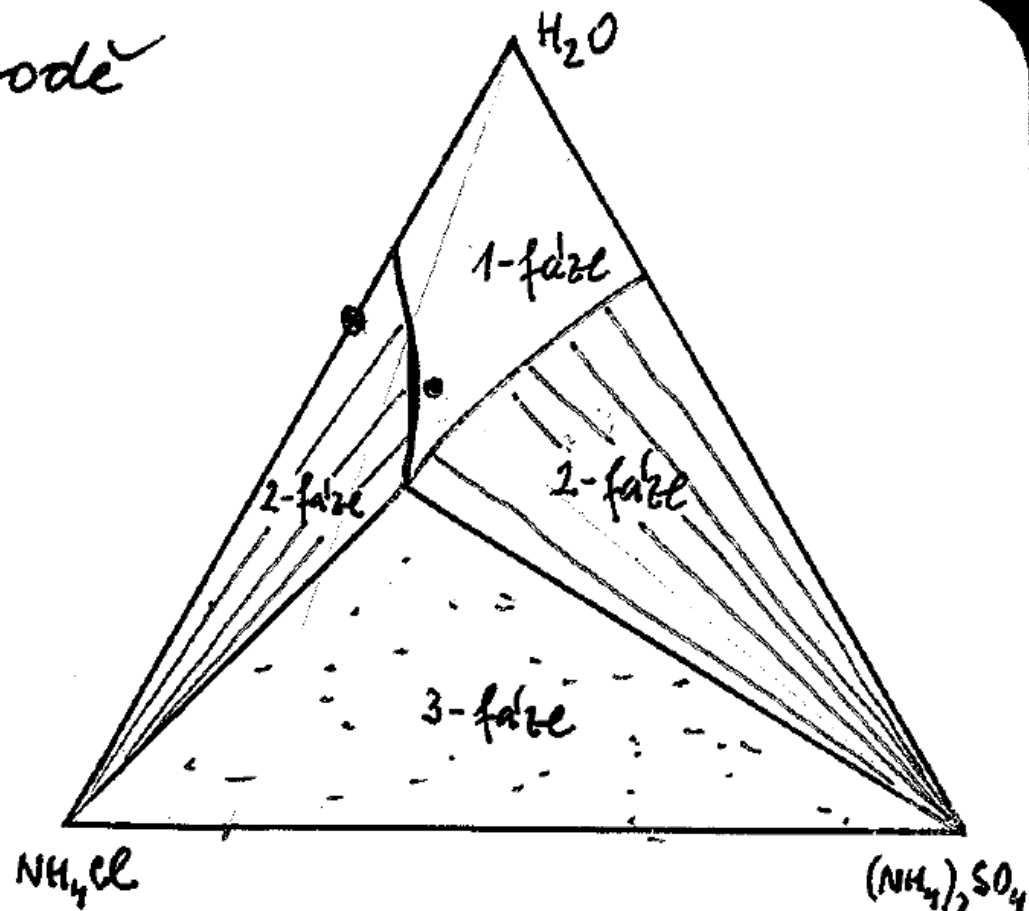
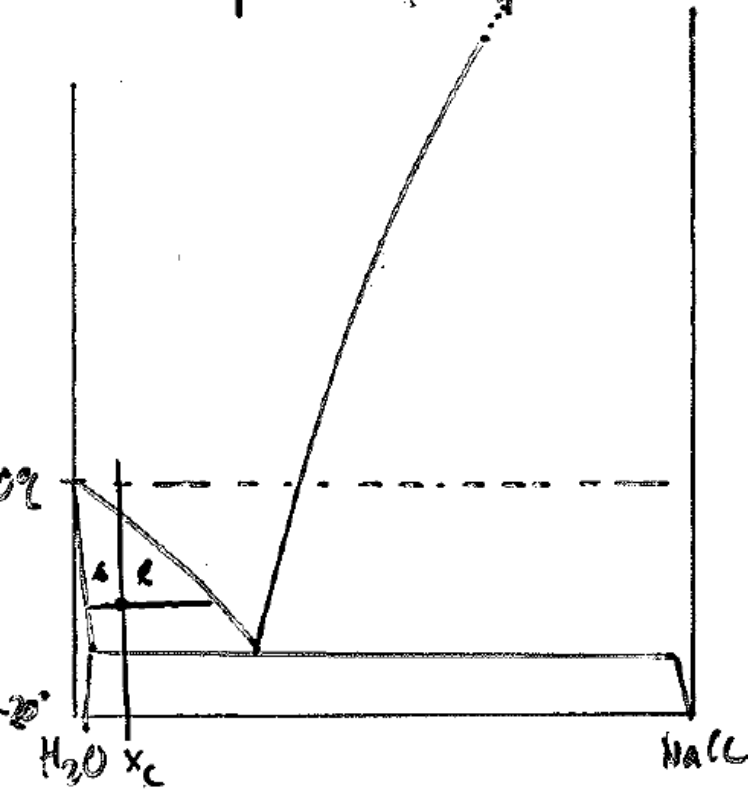
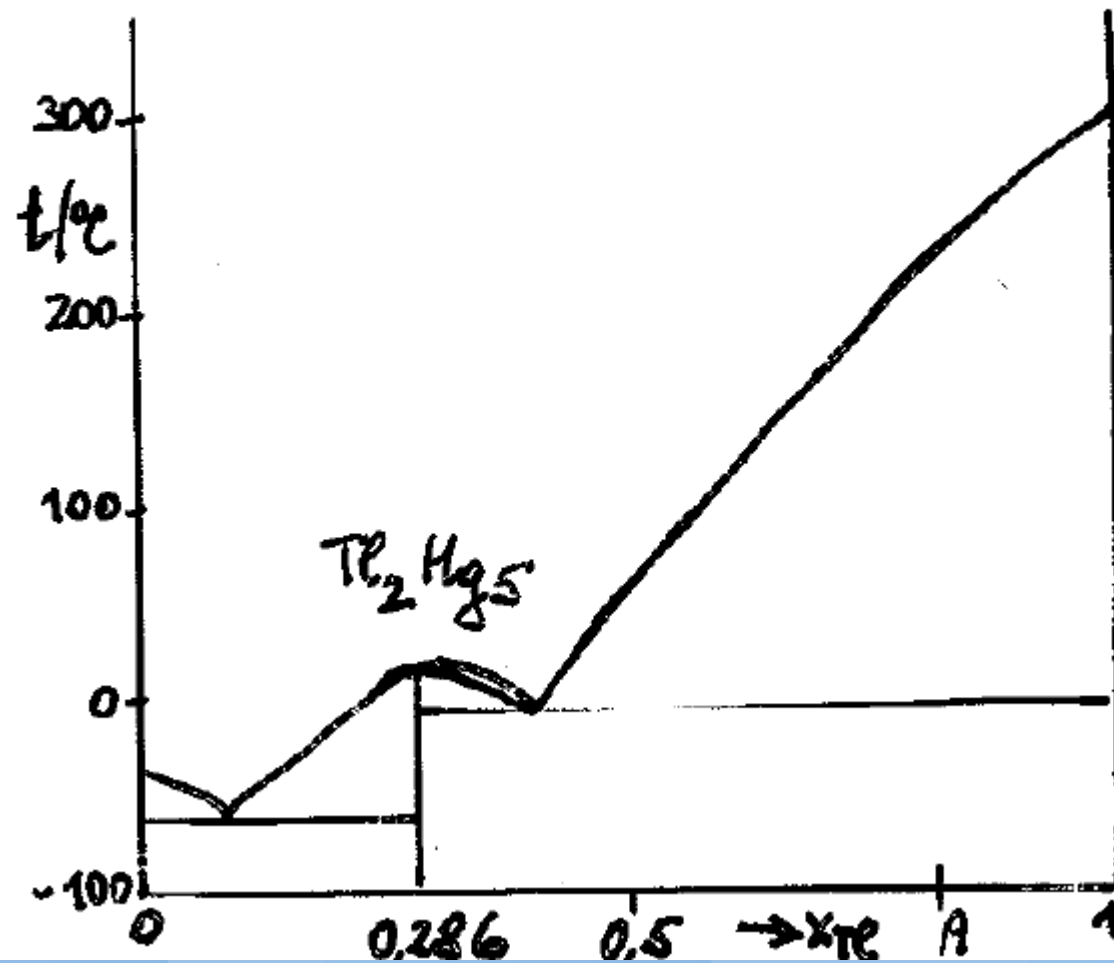


Vybrané aplikace FD dvou a tří složkové soustavy

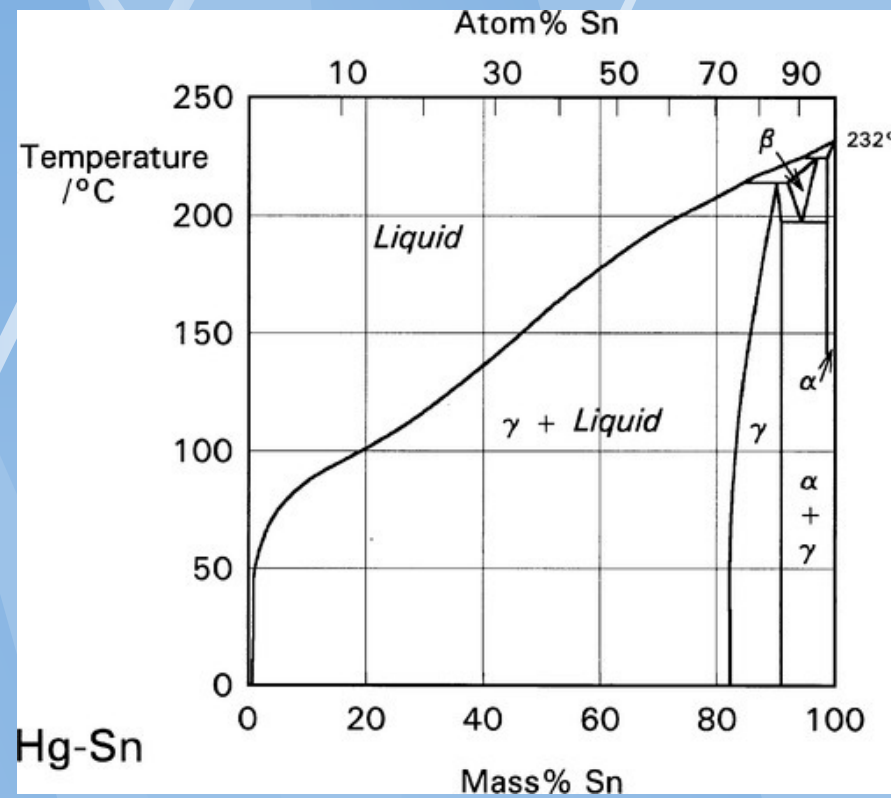
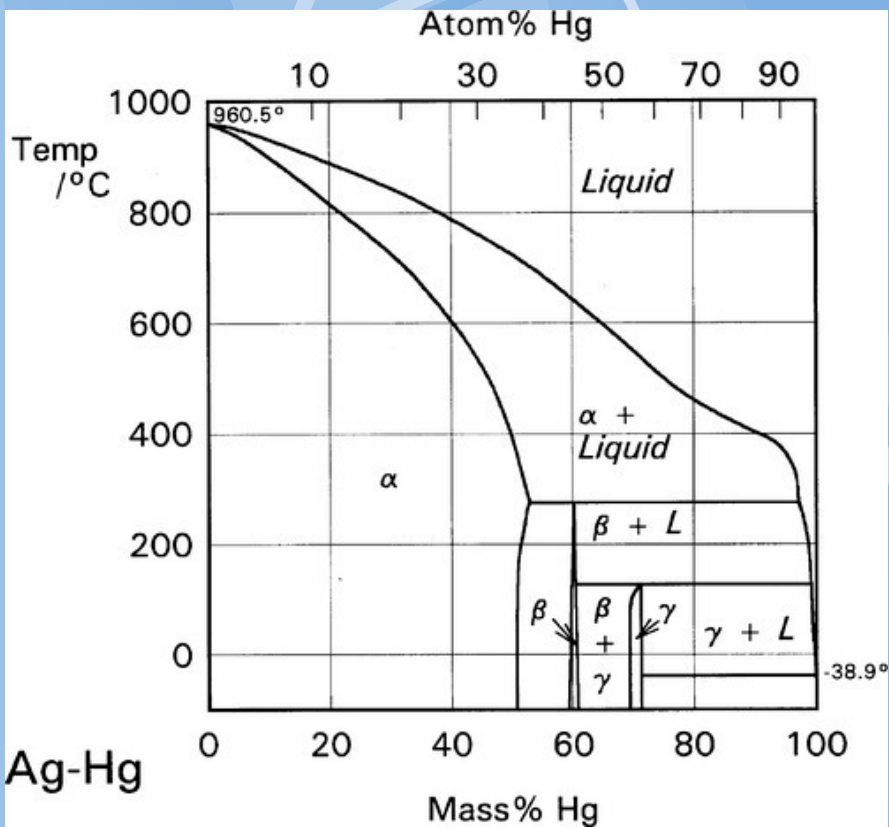
Rozpustnosť solí v vode



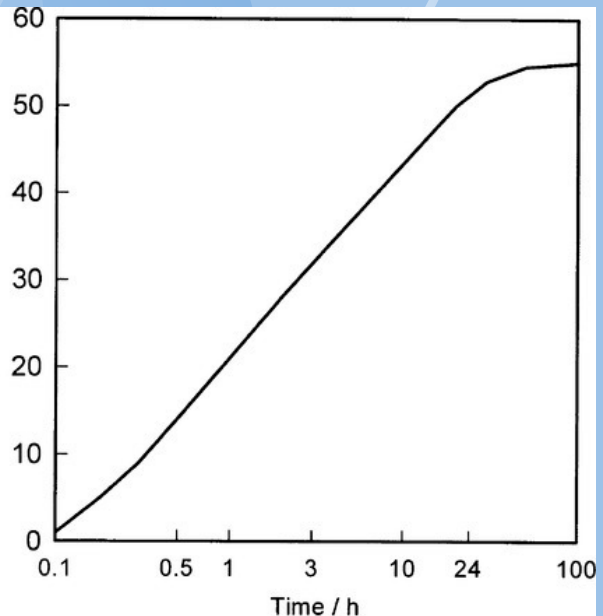
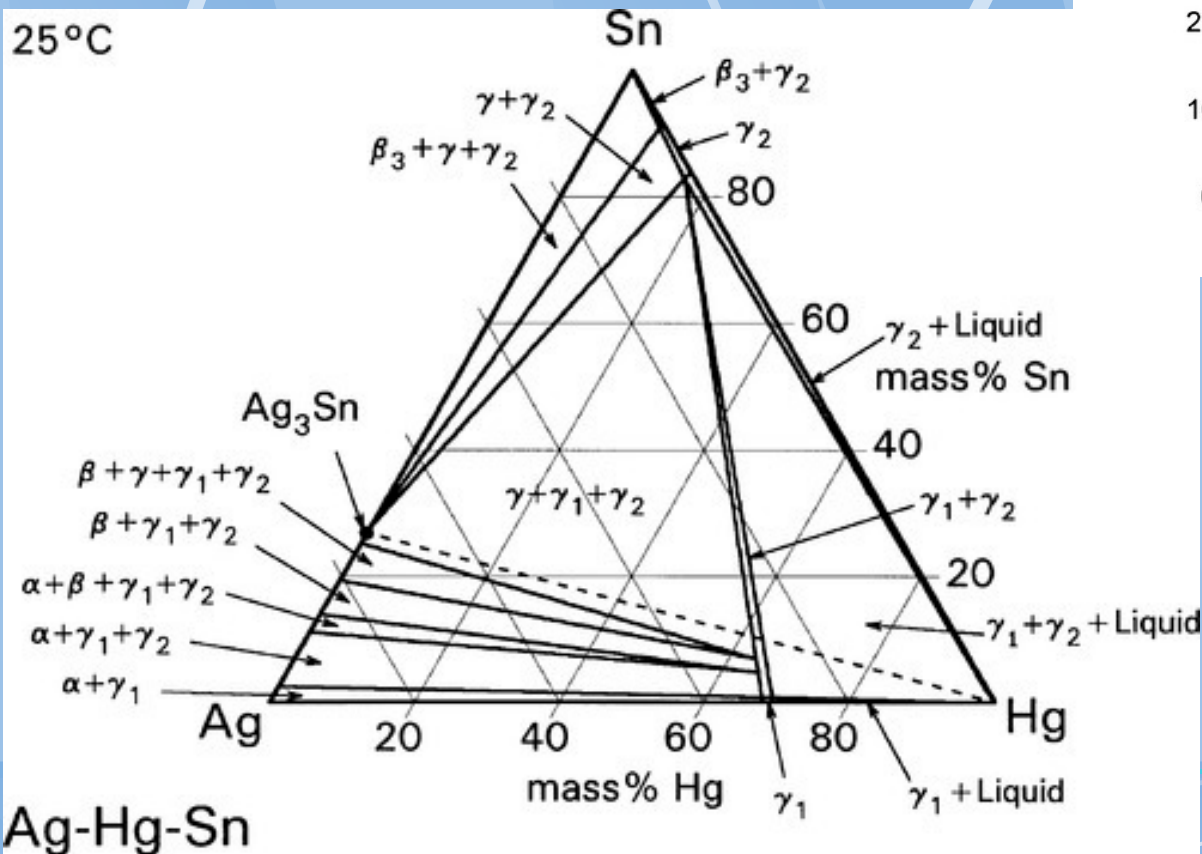
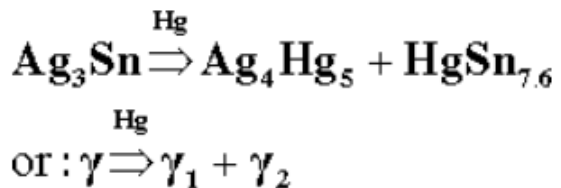
¹
amalgamy - system Hg - Te



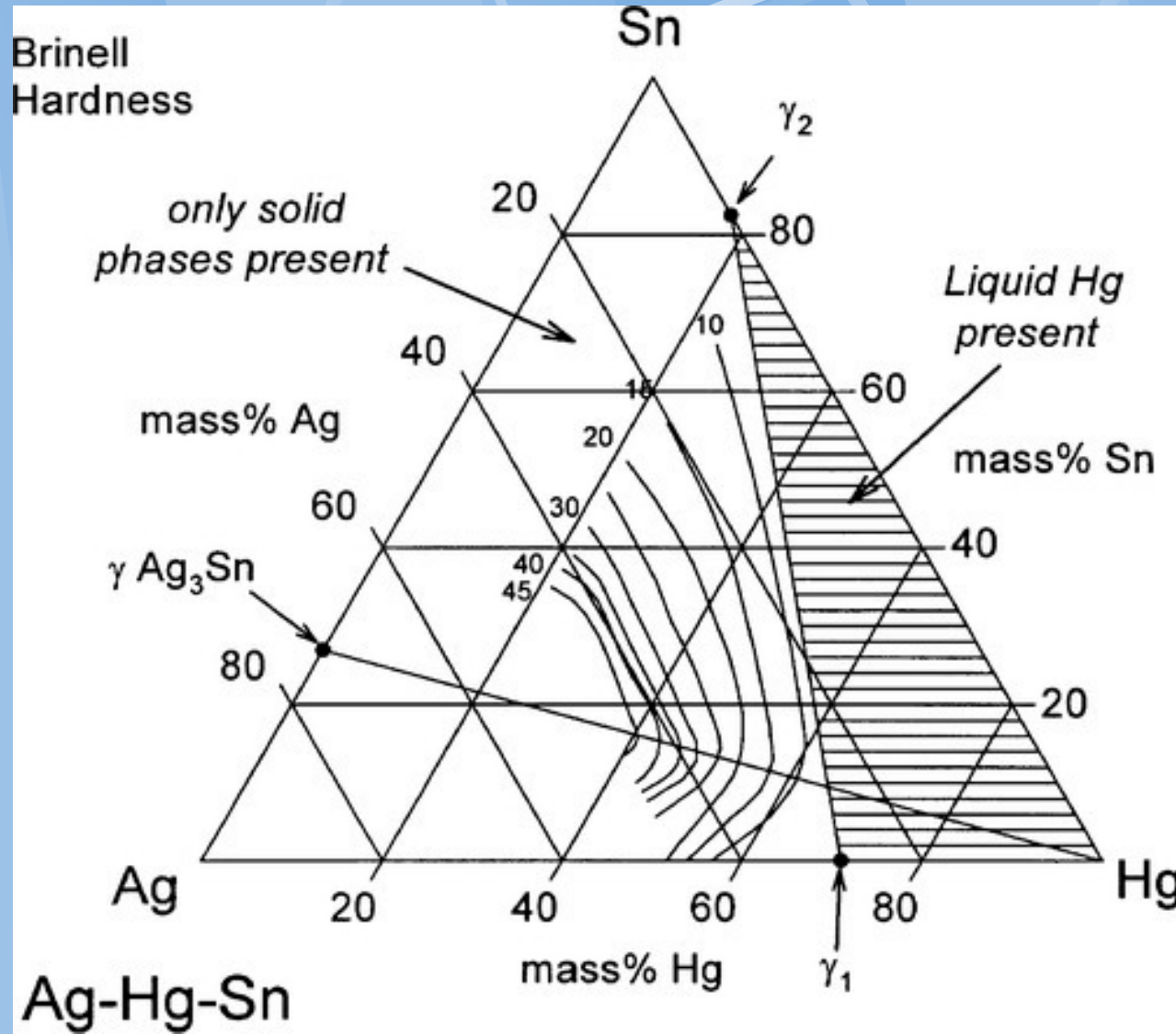
Zubní amalgám Hg-Ag-Sn



Ag-Sn-Hg



Brinell Hardness



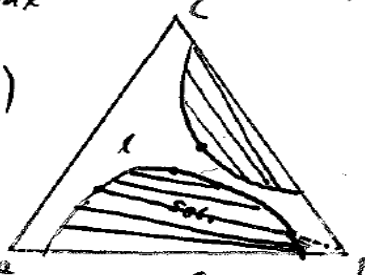
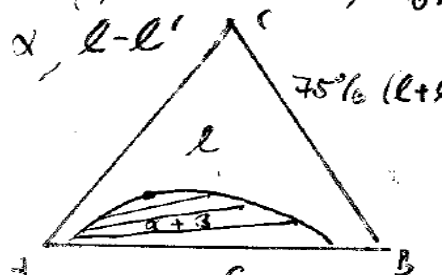
Variation in Brinell indentation hardness (numbered contours) with composition in the Ag-Hg-Sn system corresponding to the reaction stage shown in Fig.

1.5. The line between the points labelled γ_1 and γ_2 represents compositions of stoichiometric complete reaction; it is the solidus.

Směsi rozpouštědel

základní typy isobaricko-isokoncentrálního řezu zem. soust.

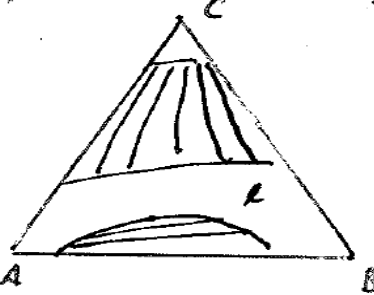
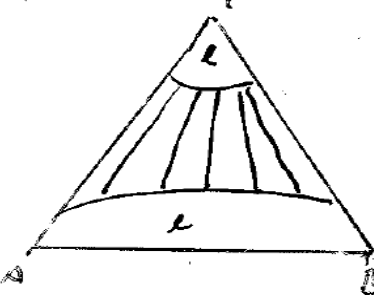
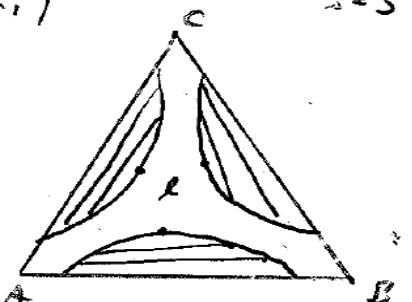
$$\text{typ } \gamma = \text{fix} \Rightarrow \delta_{\max} = 3 \text{ (v koexistenci)}$$



ternických

terciárních řezů zem. soust.

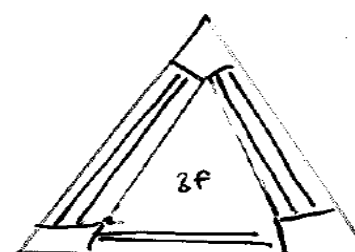
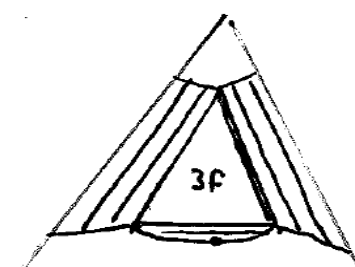
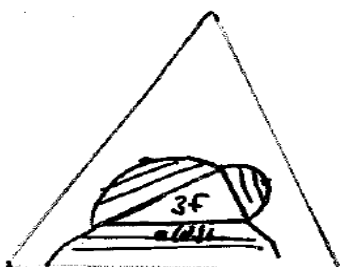
$$z=3$$



Pouze dvoufázové oblasti $l-l'$

- kritický bod ($l=l'$)
- solutropický bod ~~střednice~~
(tie-line míří do vrcholu)
- alatropický bod střednice tie =

3_f , překryv dvoufázových oblastí \Rightarrow 3fázová oblast

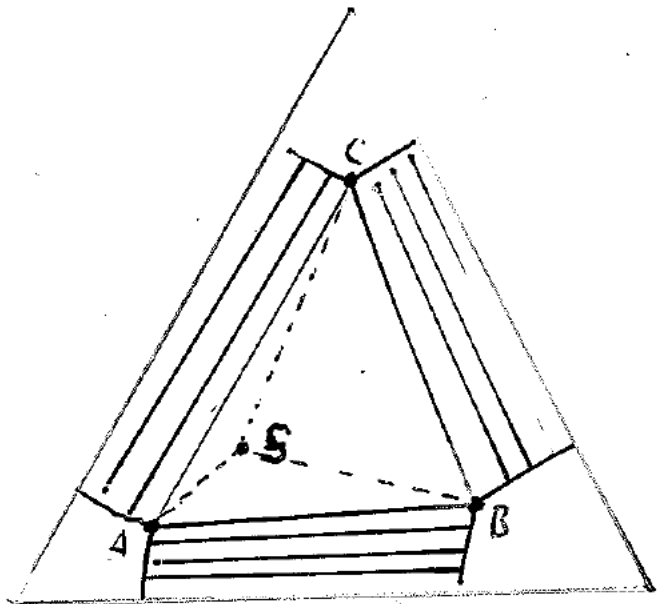


geometrický důsledek zákona zach. hm. v 3f soustavě

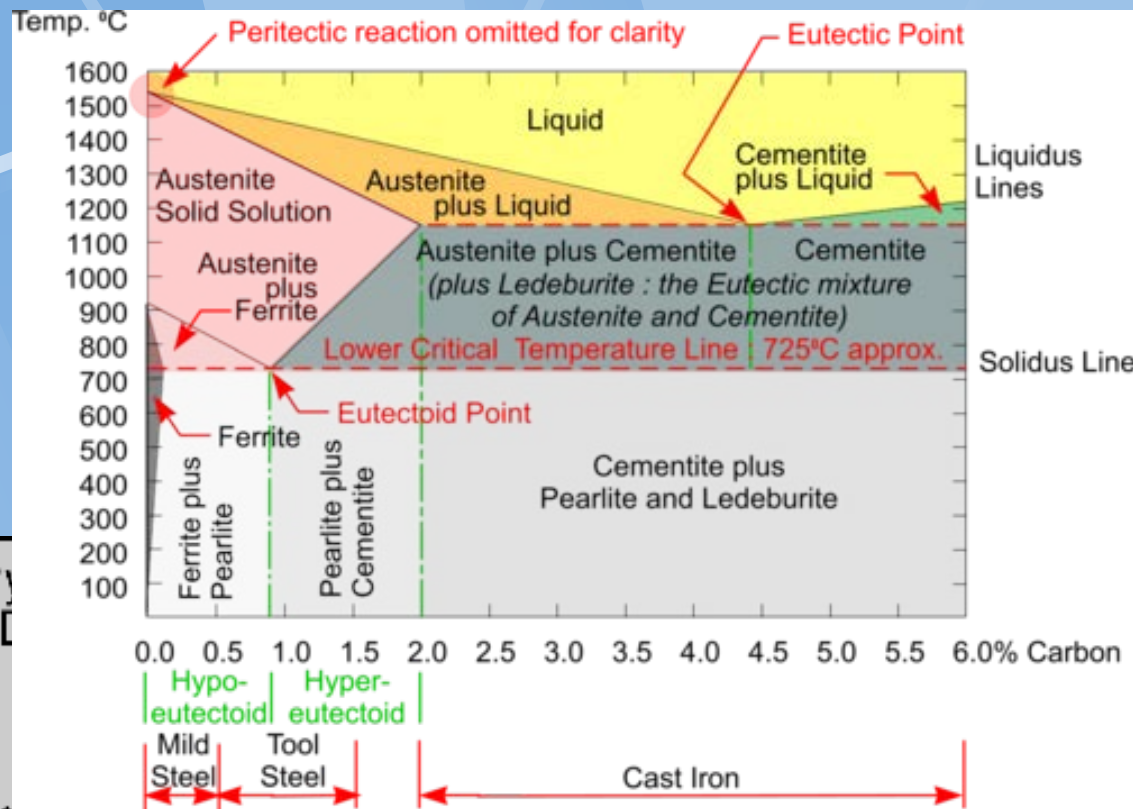
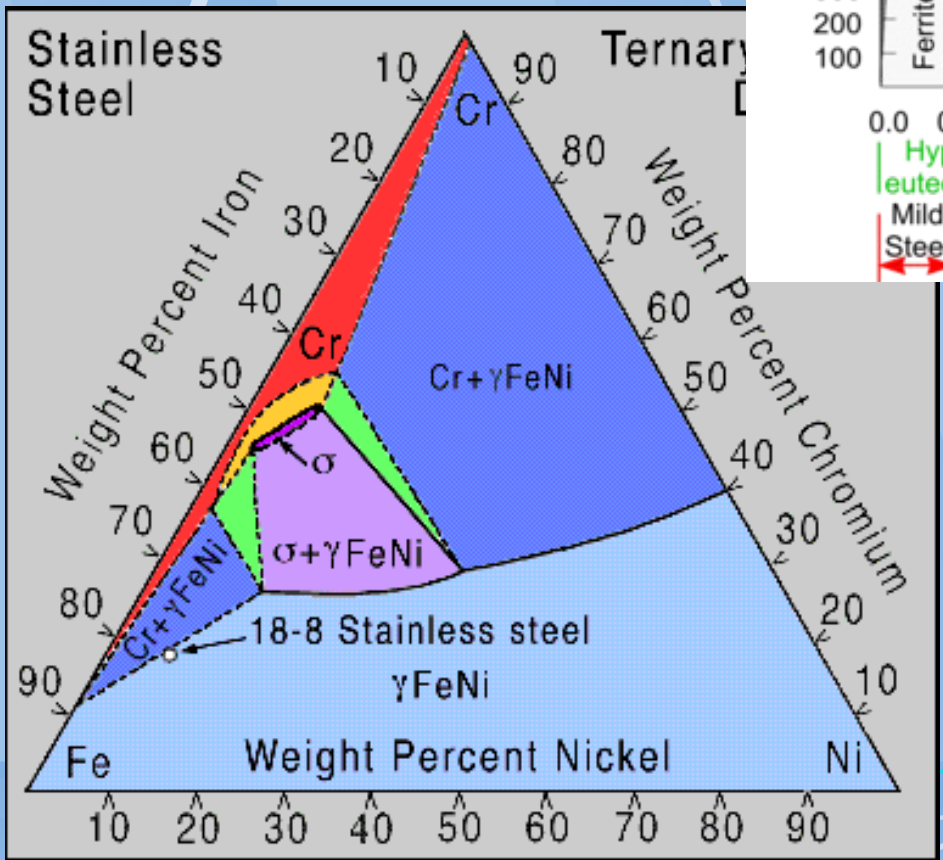
Podíly fází

Geometrický důsledek zákona zach. hm. v 3f soustavě

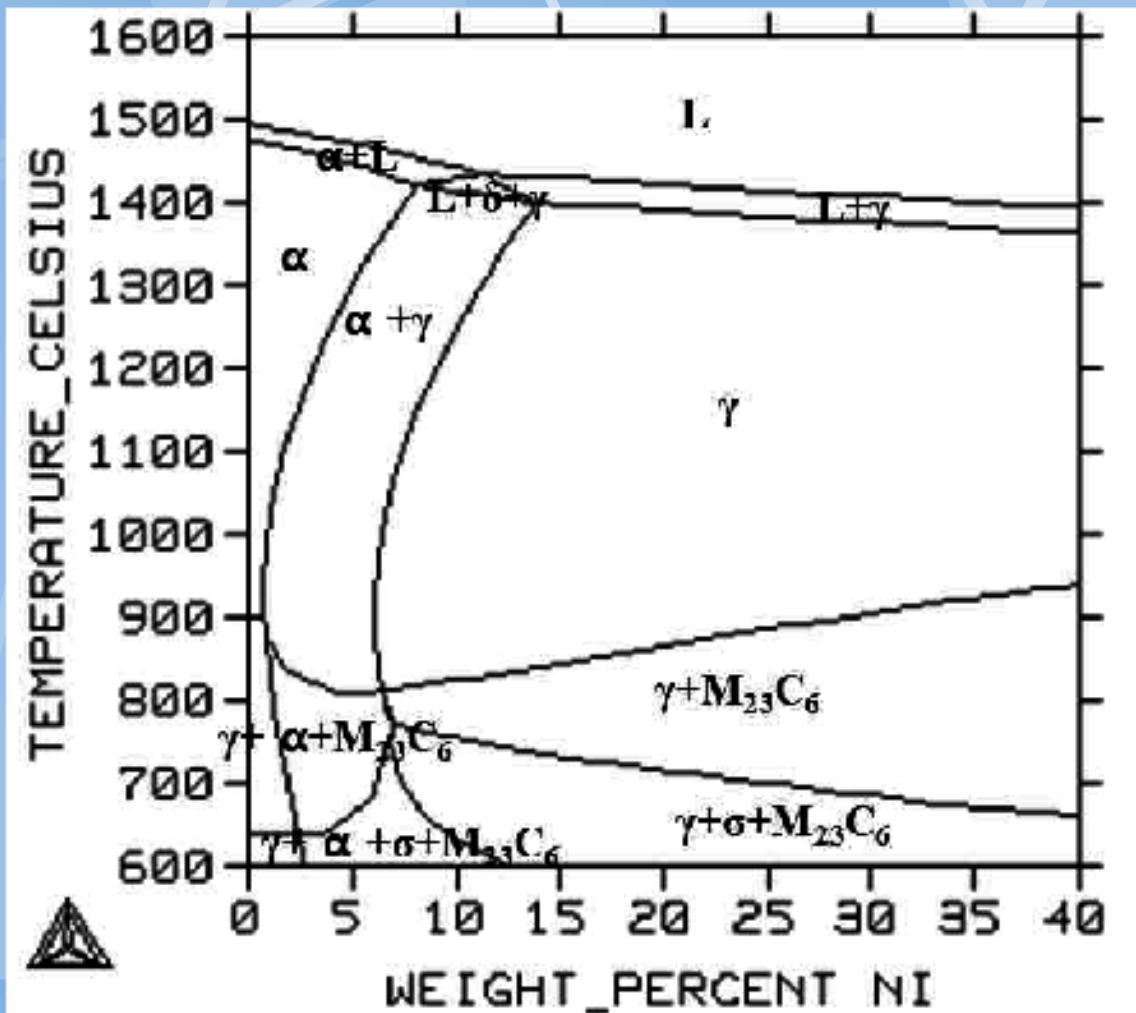
$$n_A = \frac{P(\Delta SBC)}{P(\Delta ABC)} \quad \text{a pod. pro } n_B, n_C$$



Slitiny Fe

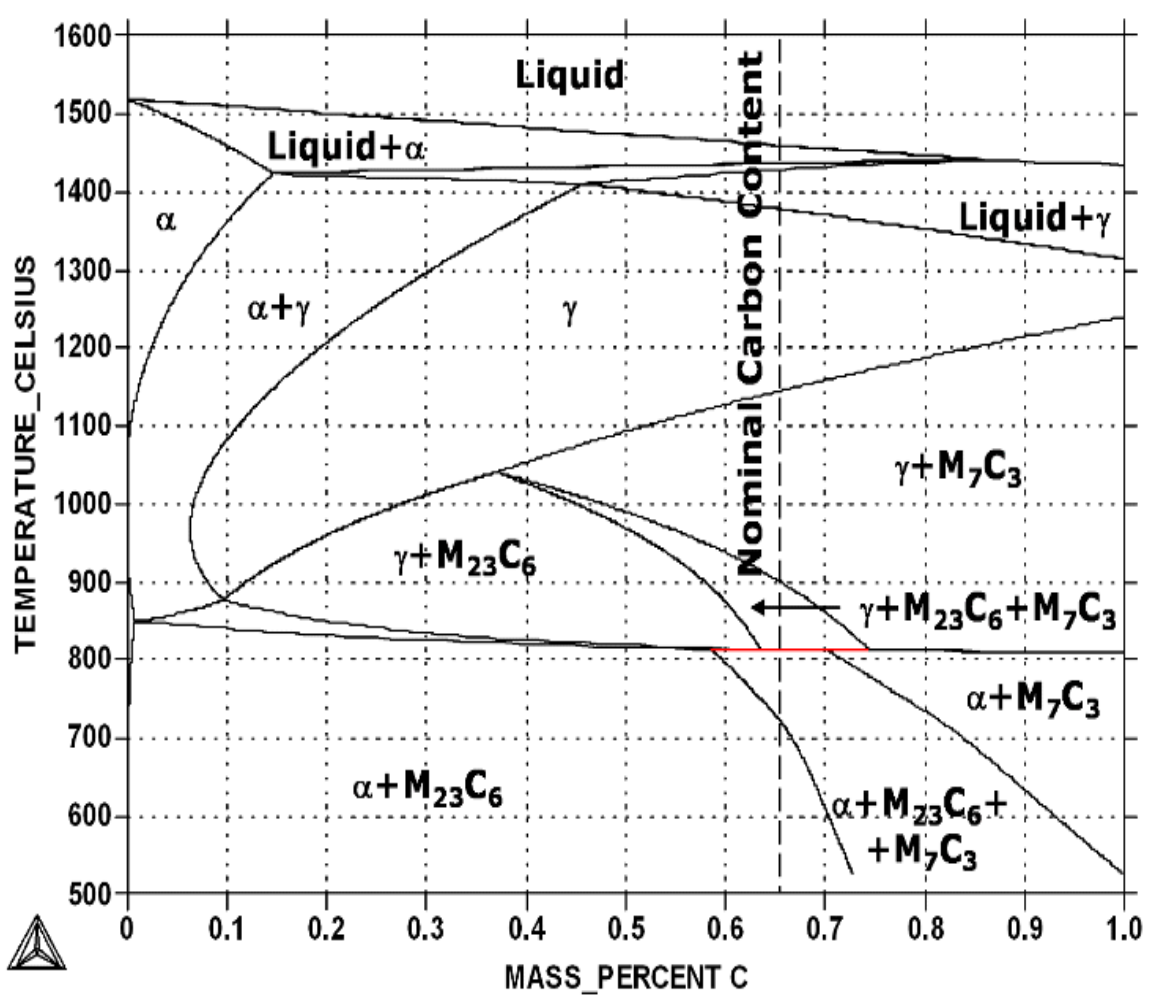


316L stainless steel



Phase diagram of commercial 316L stainless steel plotted by using ThermoCalc program. A typical composition of 18% chromium and 10% nickel + stopy C

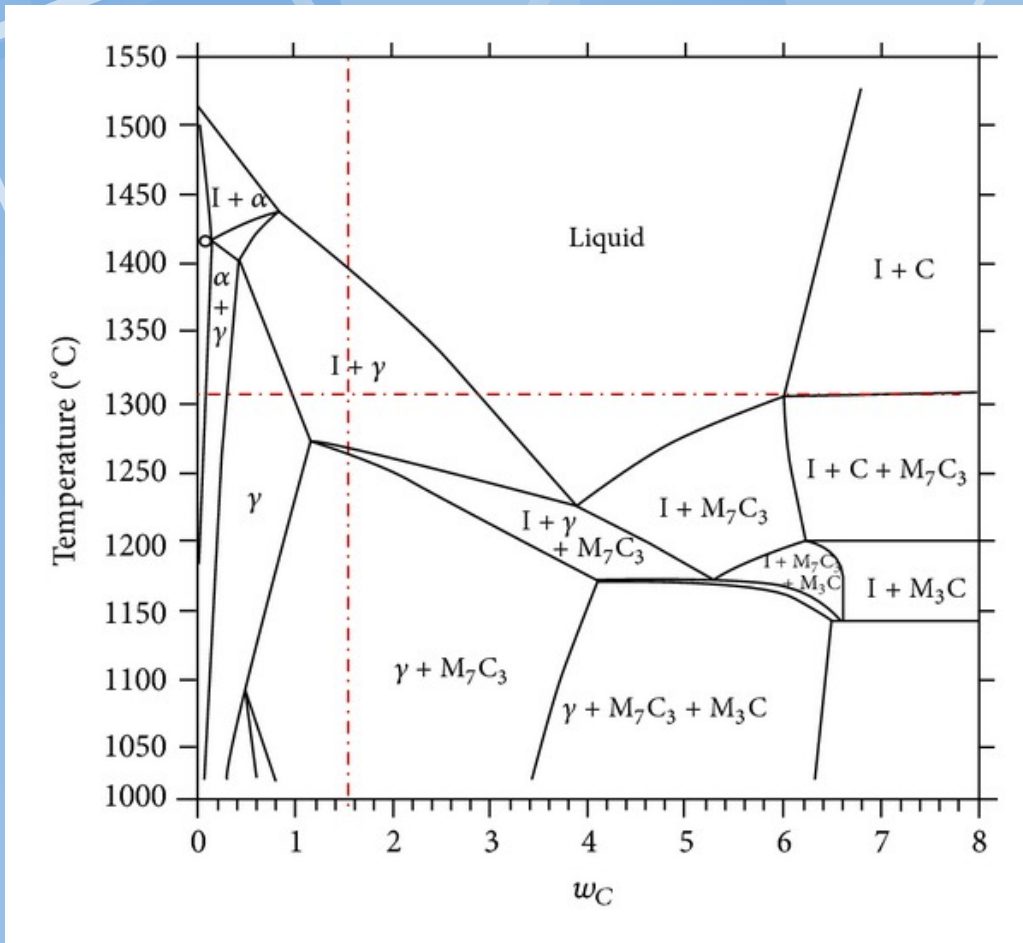
Legovaná Cr ocel



Phase diagram of Uddeholm AEB-L stainless steel (in deg. Celsius) calculated with Thermo-Calc, coupled with TCFE3 thermodynamic database. Silicon and manganese were excluded from thermodynamic calculations.

C = 0.65wt%
Cr = 12.8
Si = 0.4
Mn = 0.65

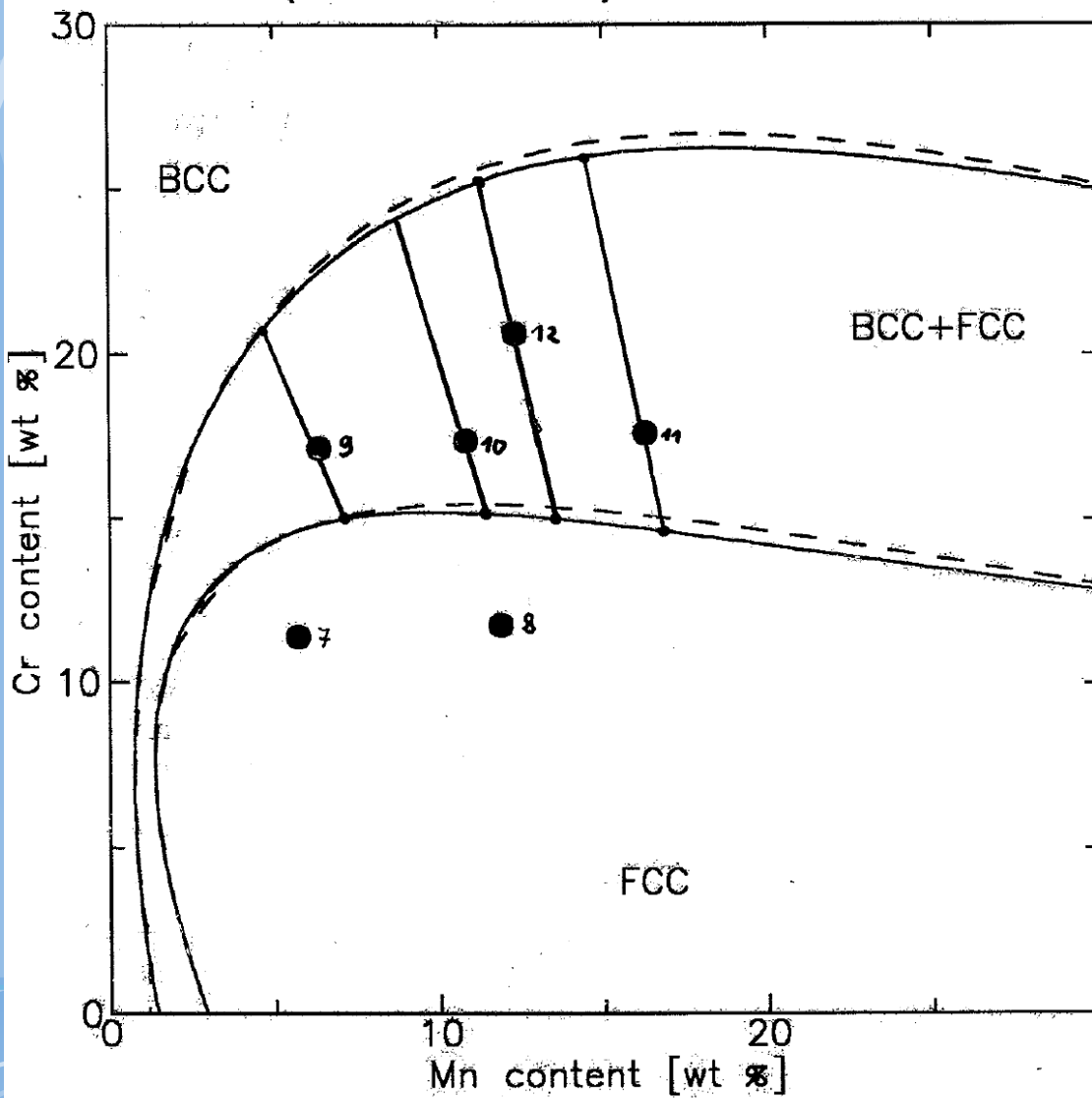
Binary phase diagram of AISI D2 tool steel with variable carbon content



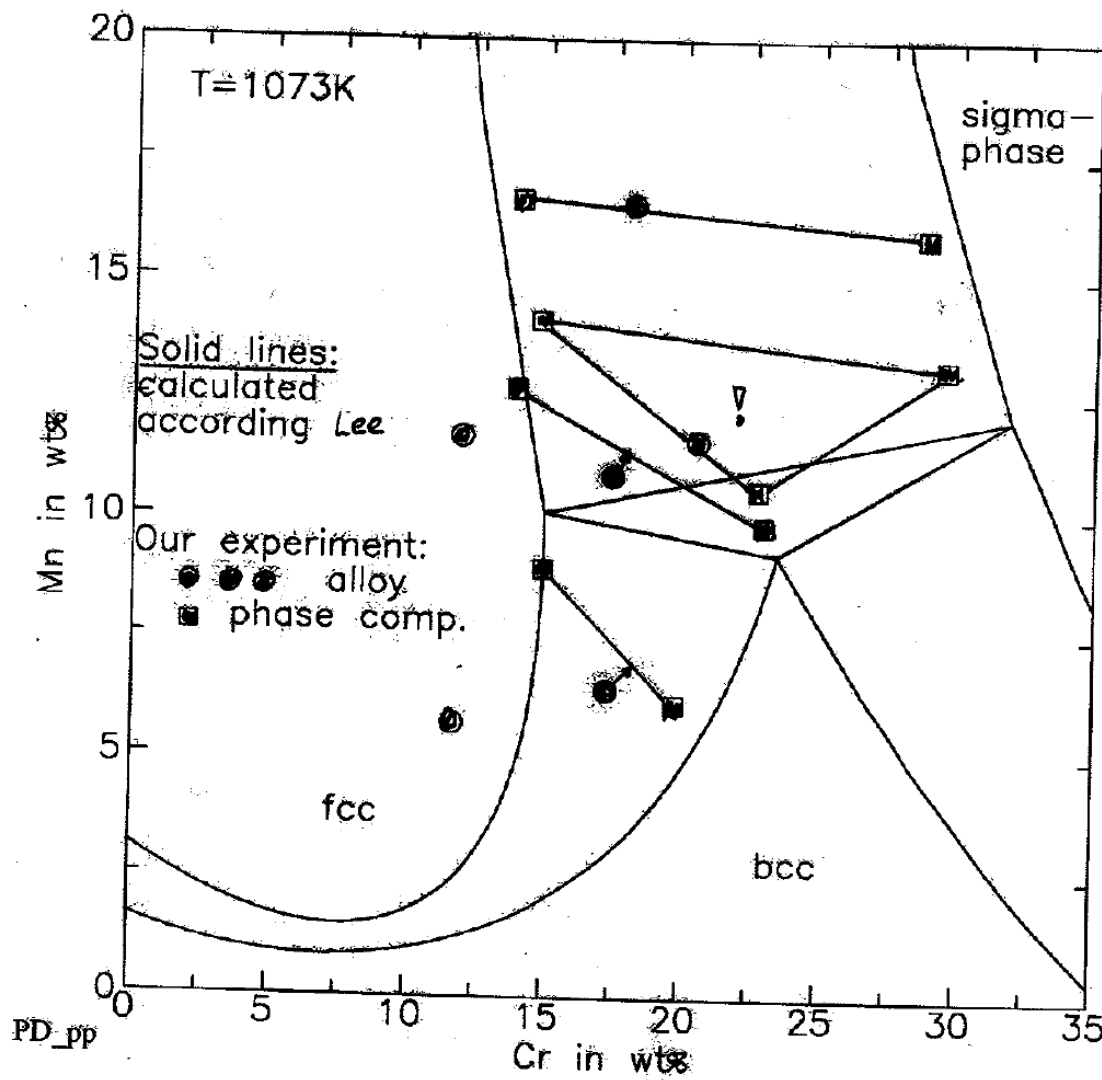
Typical chemical composition of AISI D2 Steel

C	Si	Cr	Mo	V
1.50%	0.30%	12.00%	0.80%	0.90%

System: Fe-Cr-Mn
(isothermal cross-section at 1073K)
(iron rich corner)



Isothermal cross-section of the Fe-Cr-Mn phase diagram at 1073K



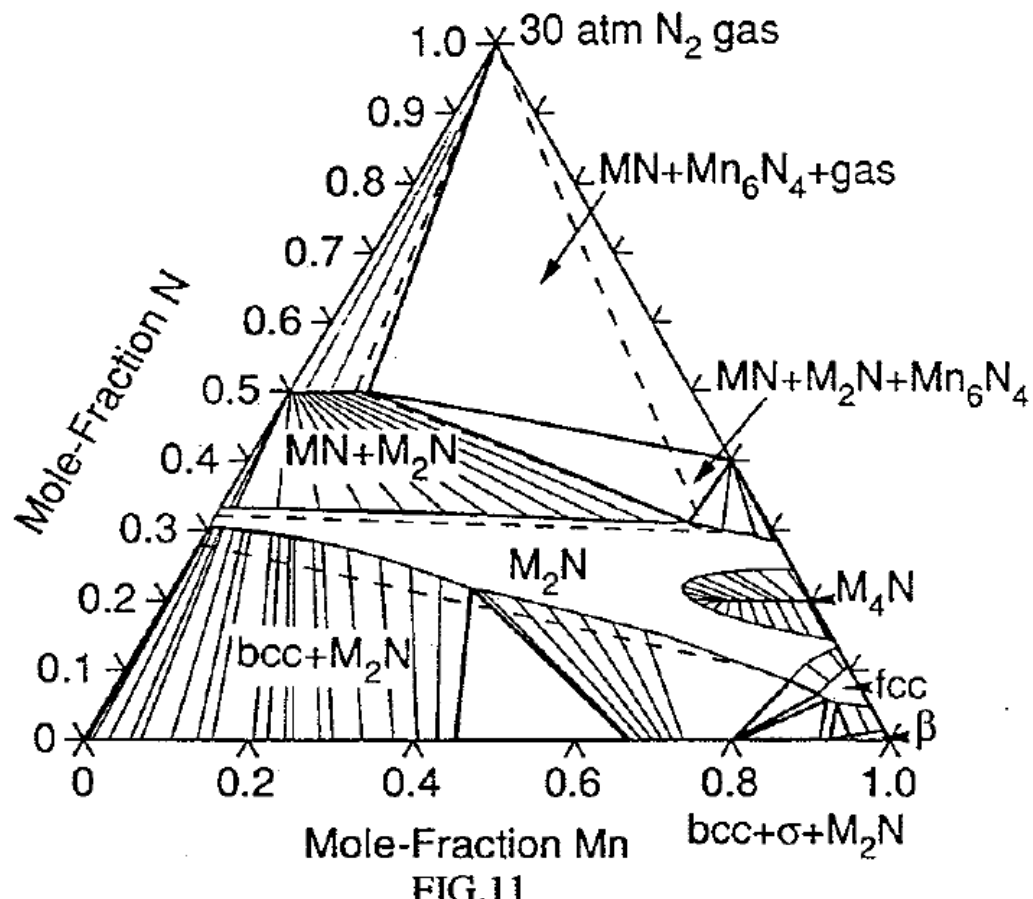


FIG.11

The calculated isothermal section at 1073K through the Cr-Mn-N phase diagram, showing equilibria with 30 atm N₂ gas. The full lines show the calculations, and the dashed lines have been redrawn from the experimental study by Ettmayer et al.⁽⁴⁾. The Mn₆N₄ phase is stable in the calculated phase diagram, but it was not found experimentally.

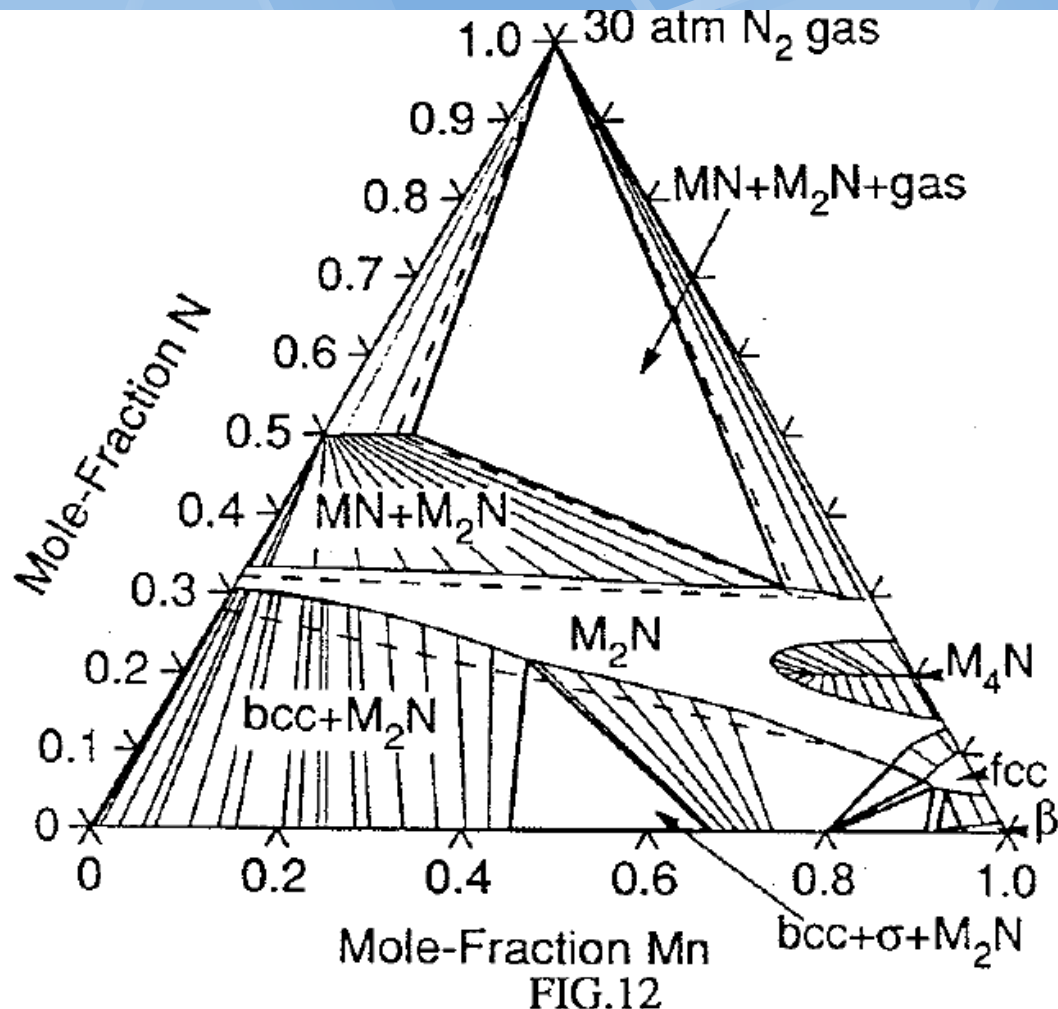
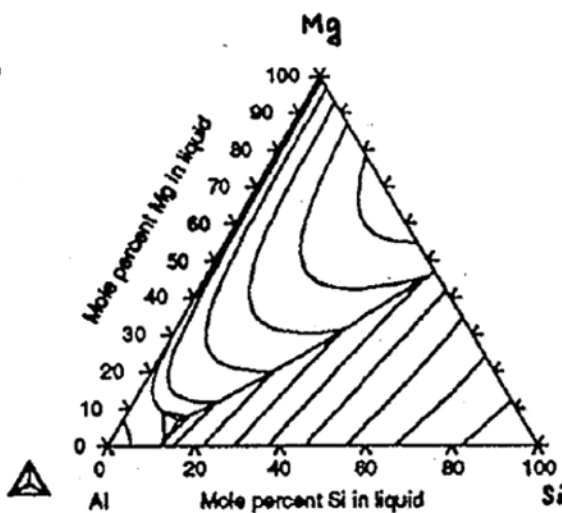


FIG.12

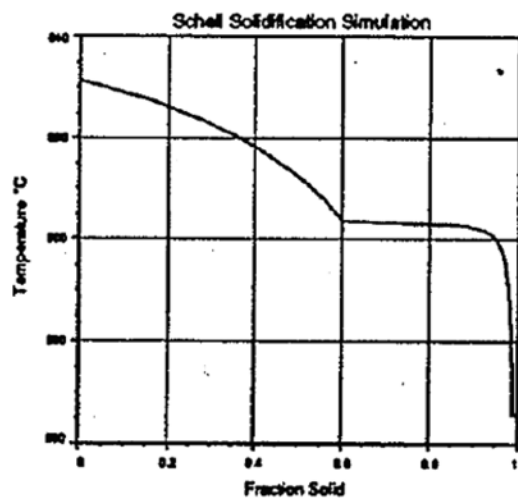
The calculated isothermal section at 1073K through the Cr-Mn-N phase diagram, showing equilibria with 30 atm N_2 gas. The full lines show the calculations, and the dashed lines have been redrawn from the experimental study by Ettmayer et al.⁽⁴⁾. The Mn_6N_4 and the Mn_6N_5 phases were suspended from the calculation.

THERMO-CALC DEMO

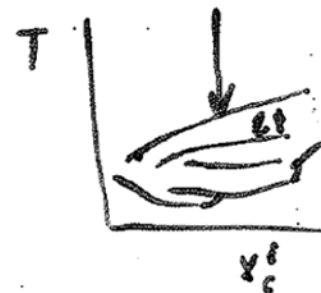
6



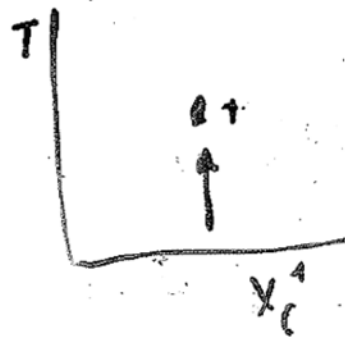
12



Plocha liquida:

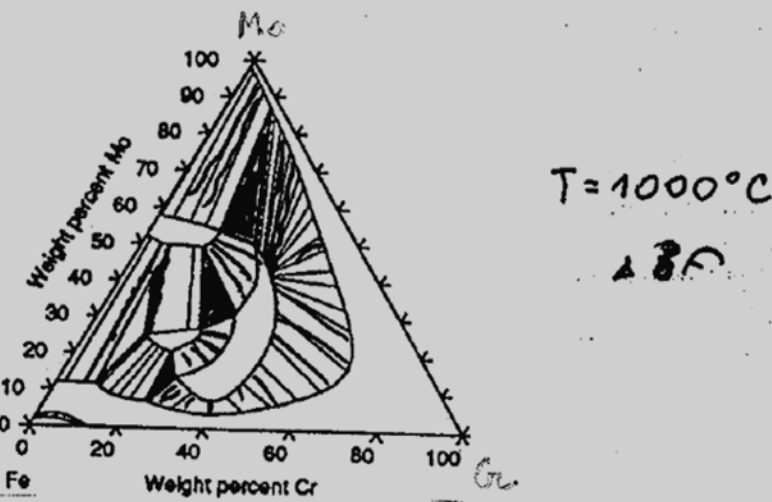


Plocha solida

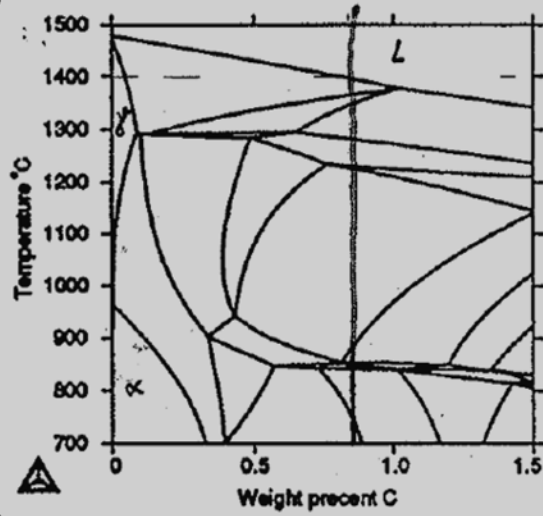


THERMO-CALC, DEMO

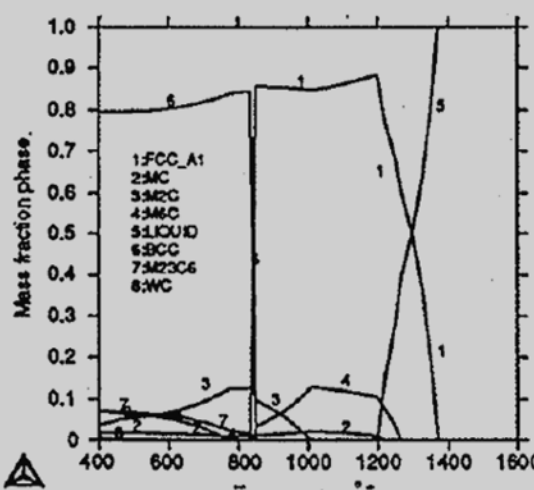
4



7



8



10

M42 - steel: $\sum(Co, Cr, Mn, Si, Mo, W, V) = \text{const.}$

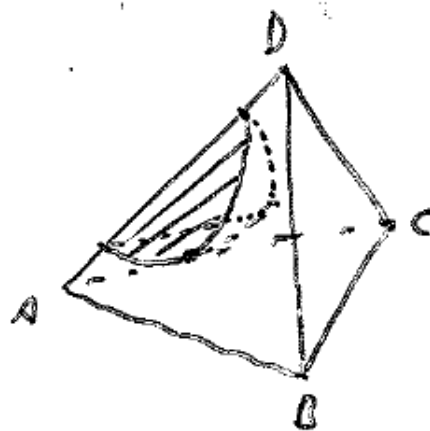
0.8 wt-% C

Quaternární soustavy S=4

α , 2r dimenze

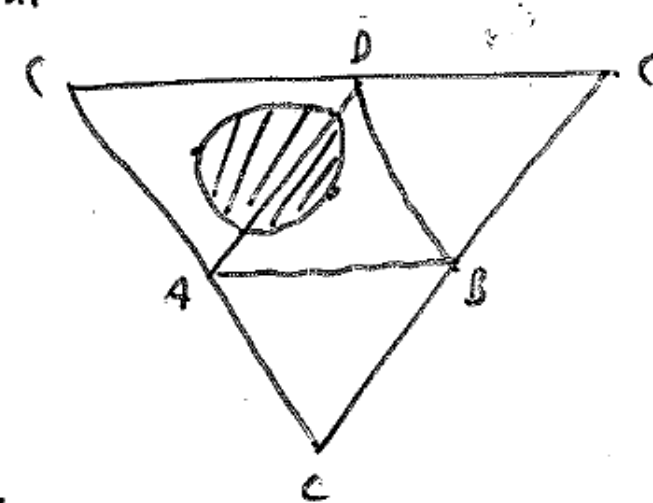
- fixace jedné složky, fixace podílu 2 složek \Rightarrow pseudobiňarní diagram

β , 3r dimenze



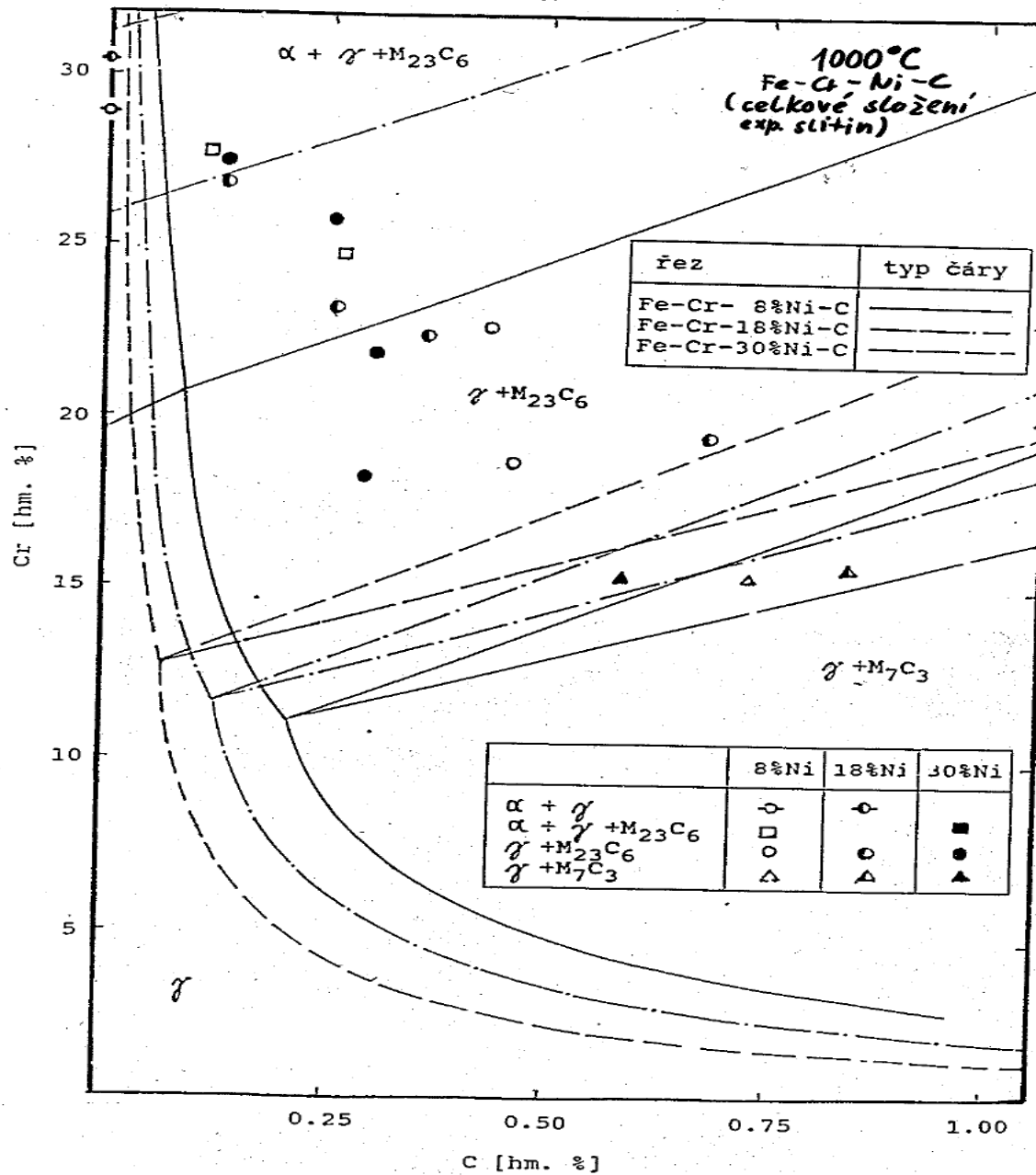
$\xrightarrow{\text{zobalení}}$
zobalení

2r dimenze

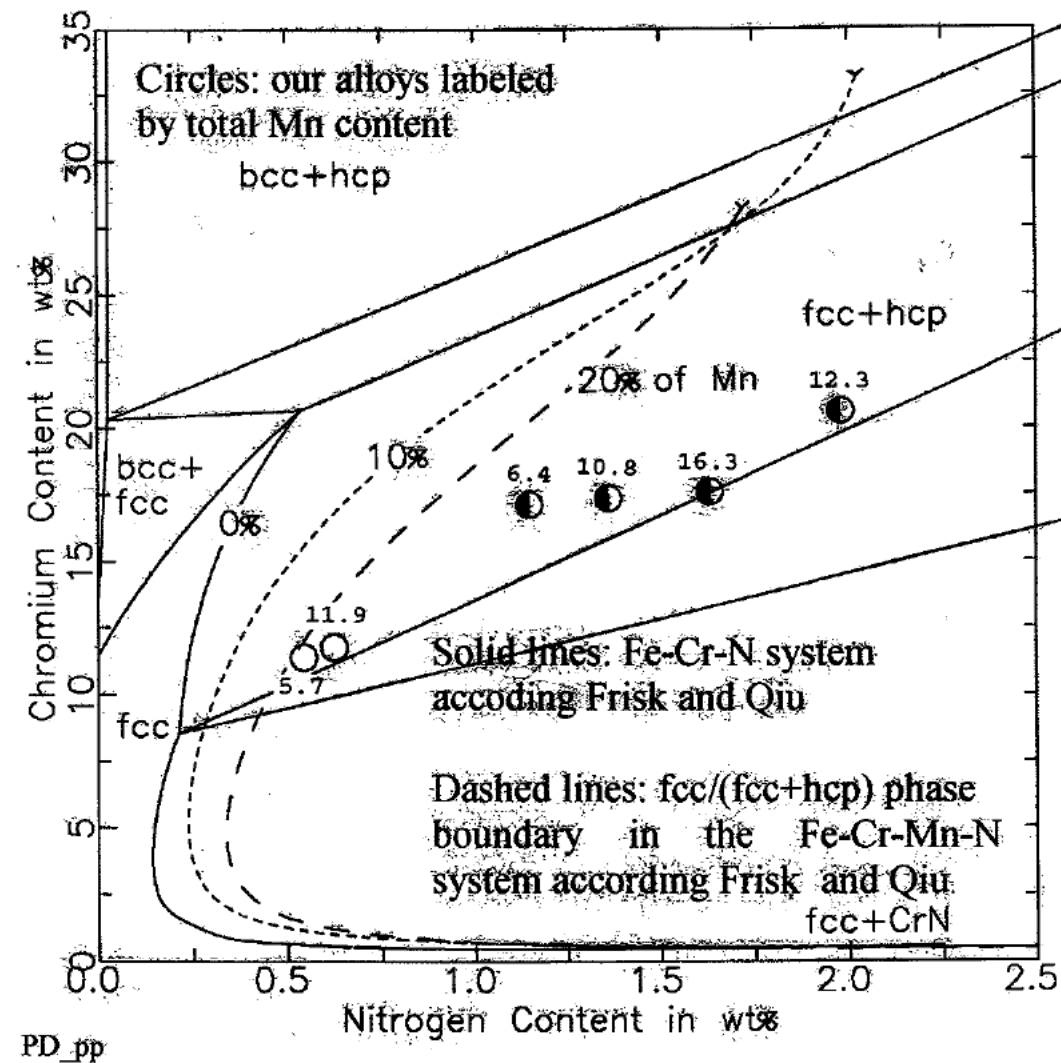


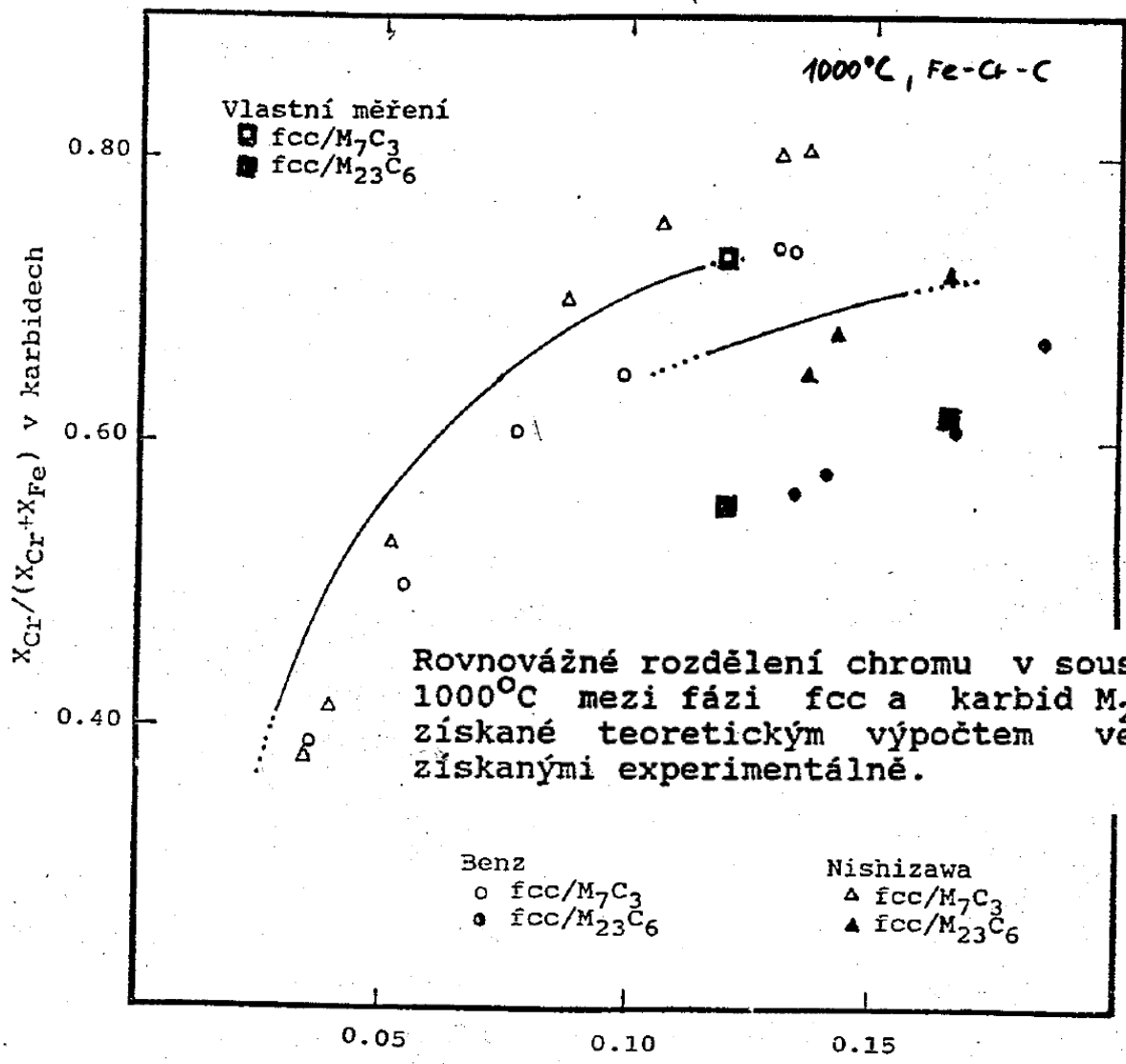
γ , 2r dimenze \Rightarrow viz příklady.

Obr. 6a: Vypočtený izotermický řez rovnovážným fázovým diagramem soustavy Fe-Cr-Ni-C pro teplotu 1000°C. V diagramu jsou vyznačeny body reprezentující celkové chemické složení experimentálních slitin.



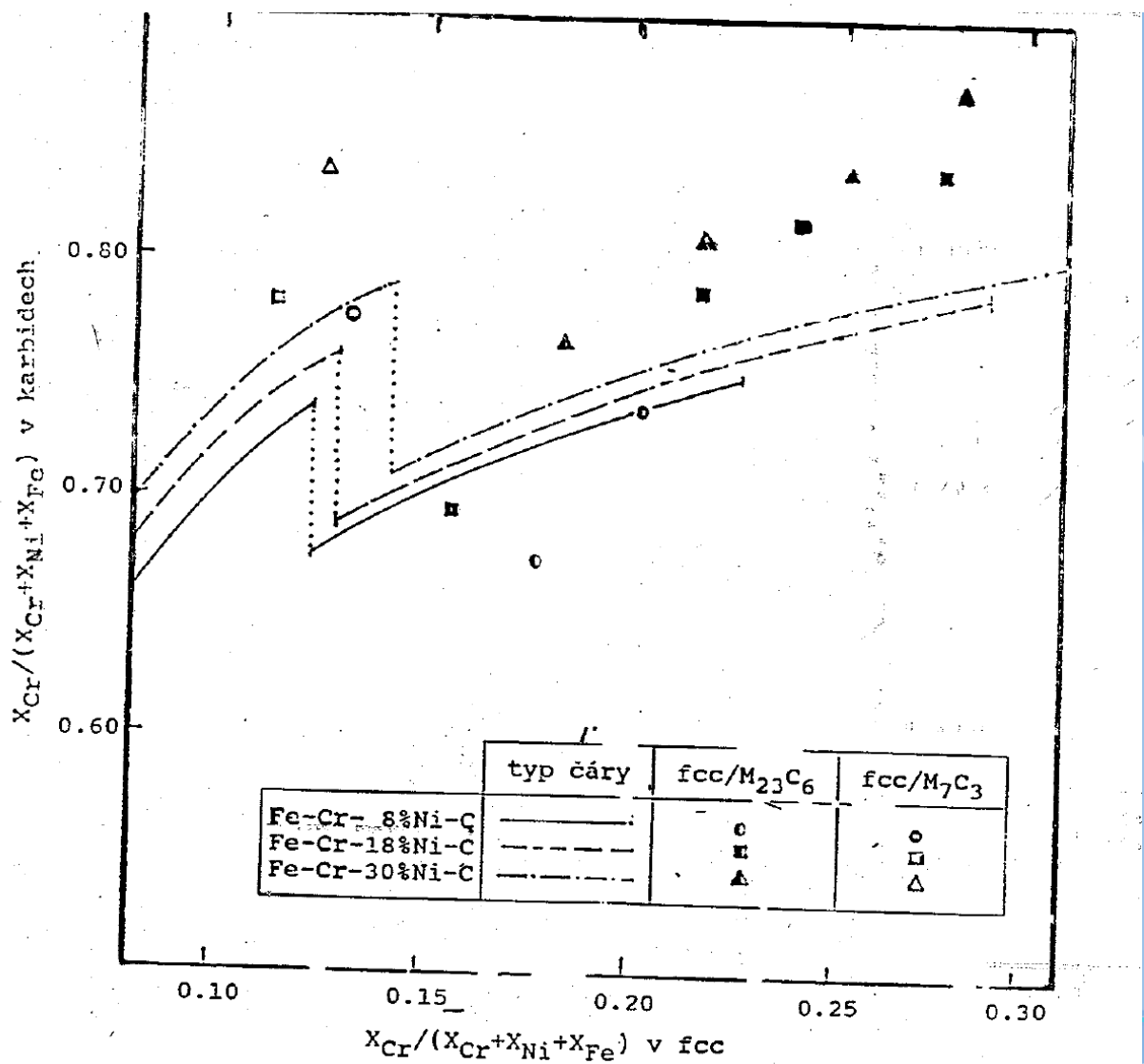
Isothermal cross-sections of the fcc/(fcc+hcp) phase boundary in the Fe-Cr-Mn-N phase diagram at 1273K





molární podíl chromu vztažený na obsah kovových složek ve fázi fcc

Rovnovážné rozdělení chromu v soustavě Fe-Cr-Ni-C za teploty 1000°C mezi fázi fcc a karbid $M_{23}C_6$ resp. karbid M_7C_3 získané teoretickým výpočtem ve srovnání s hodnotami získanými experimentálně.



Diskuse